

Optimal Path Identification to Defend Against Ddos Attacks

Guang JIN^{1,2}, Jiangan YANG¹, Yuan LI², Huizhan ZHANG²

¹College of Computer Science and Technology, Zhejiang University, Hangzhou 310027, China

²College of Information Science and Engineering, Ningbo University, Ningbo 315211, China

Abstract: A novel packet marking scheme, optimal path identification (OPi), was proposed to defend against DDoS attacks. Instead of using fixed 1 or 2 bit in previous schemes, in OPi a router deduces the traveling distance of an arrived packet by its TTL value and inserts a variable-length marking of 1~16 bit into the packet. The marking field is filled completely even the path is very short and the distinguishability is improved. OPi outperforms previous schemes, especially when attacker paths adjoin user paths seriously. To obtain better performance, an OPi+TTL filtering strategy was proposed to frustrate attackers' tries with spoofed initial TTL values. Theoretical analyses and simulations with actual Internet topologies show OPi performs excellently.

Keywords: internet security, DDoS attack, packet marking, path identification

1 引言

拒絕服務攻擊 (DoS, denial of service) 尤其是分散式拒絕服務攻擊 (DDoS, distributed DoS) 是最嚴重的互聯網安全威脅之一, 其影響日趨顯著。目前甚至已有超過 10 萬台主機構成的僵屍網^[1], 可被用來策動超大规模攻擊。防禦 DDoS 攻擊網路安全的主要研究內容之一, 近幾年湧現了許多新的防禦技術手段^[2], 各有特點。所有防禦技術可分為 4 類: 預防、檢測、回應和消除。預防的代表方案是入口過濾^[3], 要求各入口路由器阻止偽造源位址的包進入網路。新的檢測技術傾向於尋找更多的異常鏈路特徵^[4]。攻擊回應的研究熱點集中在追溯攻擊路徑^[5], 主要問題是攻擊者可偽造初始標記域導致追溯失效, 此外路徑重構的計算量很大, 尤其在 IPv6 中重構路徑上所有節點的 128bit 地址非常困難。攻擊消除強調對每個包的準確判斷和過濾, 包得分^[6]和跳數過濾^[7]均主張受害機從到達包的首部中提取資訊進行過濾。

路徑標識 (Pi, path identification)^[8]結合了回應和消除。與路徑追溯相似, 路徑上的路由器對轉發包進行標記, 向包首部標記域 (IPv4 取 16bit ID 域, IPv6 取 20bit 流標域, 本文僅以 IPv4 為例) 順序插入自身和上一跳 IP 位址連接值的 MD5 值的後 1bit 或 2bit, 包到達受害機 V 時將含對應整條路徑資訊的路徑標識串 Pi。V 可從初認定的攻擊包提取惡意 Pi, 然後根據該 Pi 對隨後的包進行檢查, 如匹配則予以丟棄。顯然 Pi 方案對攻擊包的區分更有效, 而且這種確定性標

記將會覆蓋攻擊包的偽造初值, 對防禦針對 V 本身的包氾濫攻擊非常有效。作為新的改進, StackPi^[9]考慮提高部署的可擴展性, 還建議用 Pi2IP 表進一步提高過濾效率。

類似思想見 PS^[10], 隨後出現了一些改進方案: 路徑指紋^[11]在標記域中加入距離值, 來加大對路徑的區分程度; DPi^[12]建議路由器動態選擇 1bit 或 2bit 標記, 以達到更好的區分效果。

2 已有 Pi 方案的不足和 OPi 的基本思想

已有 Pi 方案^[8-12]採用固定長 $n(n=1,2)$ 的標記, 16bit 標記域均多插入 $16/n$ 個標記, 路徑長 $l < 16/n$ 時, Pi 標識將小於 16bit。以 1bit 方案為例, 僅當包經過 16 跳及以上後, 才完全利用標記域空間。如 $l < 16$, 則部分標記域空間未覆蓋。即出現了安全漏洞: 首先空間未全部利用, 更短的標記長度對應更高的衝突概率, 意味著攻擊包和合法包的區分度越低; 其次攻擊者可偽造標記域初值, 同一路徑攻擊包會在學習階段和攻擊階段產生不同的 Pi, 擾亂 V 的過濾操作。

考慮到部署的擴展性, 情況會更嚴重。設一條路徑上部署 Pi 功能 (即非中立) 的路由器數量為 m , $m < 16/n$ 。攻擊包到達 V 時, 沿路路由器插入的標識長為 nm , 即同一路徑攻擊包通過隨機的標記域初值可多產生 2^{16-nm} 個惡意 Pi。舉例如下: 取 $n=1$, 同時一條攻擊路徑上 $m=6$, 則該路徑攻擊包可多產生 1 024 個惡意 Pi。顯然, 由於攻擊者偽造標記域初值

而產生的大量惡意 Pi 將會混淆更多的合法 Pi，嚴重降低有效區分度，進而抑制了過濾效果。

1bit (n=1)和 2bit 標識(n=2) StackPi^[9]方案各具優點。1bit 方案需至少 16 跳才能填滿標記域，短路徑將導致部分標記域空白。而 2bit 方案的多僅包含 8 跳，即使合理假設均後 o 個路由器不標記（如 o=3）^[8,9]，Pi 資訊也僅能涉及到倒數第 11 跳。而互聯網平均路徑長為 13~15 跳^[13]，顯然，2bit 方案對於大多數路徑尤其是長路徑區分度不足。

再分析已有的改進建議，如 DPi^[12]建議每條路徑的路由器交替使用 1bit 和 2bit 標識，其短路徑區分效果比 2bit 方案好，而長路徑區分效果比 1bit 方案差。PS 和路徑指紋均要求路徑上首個路由器對標記域清 0，正如大多數基於包標記的路徑追溯方案^[5]一樣，該要求使得部署的擴展性較差，如果互聯網上只有部分中間路由器升級部署了 Pi，而首個入口路由器未實施，則上述方案將無效。

本文認為有效的 Pi 改進方案應具有以下特點。

- 1) 更高區分度，對於長路徑應在 Pi 中包含盡可能多的跳數資訊；
- 2) 更高空間利用率，即使是短路徑也應完全佔用標記域空間；
- 3) 受偽造標記影響更小，的大限度排除攻擊者偽造標記域初值的影響；
- 4) 良好的部署可擴展性，即使部分路由器（如第一跳路由器）未部署，方案仍具效果。

本文提出的優 Pi 方案 (OPi, optimal Pi)，基本思路是標識長度對路徑有自適應性，路徑上的路由器依據自身所處路徑的距離向包中插入不同長度 (1~16bit) 的標識，從而的大限度利用標記域空間，保持的高區分度，同時也有效限制偽造初始標記域的影響。

一個困難在於路由器如何確定到達包的旅行距離，IP 首部中 TTL 域可用來解決該問題。據統計^[7,14,15]，大多數 IP 包 TTL 初值 ∈ {32,64,128,255}，如 Windows 系統大部分為 128，僅極少量終端所發包 TTL 初值是 30 和 60。而互聯網路徑長一般不超過 32^[13]，所以 V 或路由器可根據包的 TTL 值推算出其可能的初值和經過的距離。均近一些 DDoS 攻擊防禦方案就利用了這一點。如跳數過濾^[7]認為攻擊包雖可偽造源位址，但難以準確猜測相應跳數(HC)，要求 V 建立 IP2HC 的對應表來過濾跳數異常的包。DPPM^[15]建議路由器對到達包用推算的距離跳數來產生不同標

記概率，以改進路徑追溯。

3 OPi 方案

各路由器對到達包用 TTL 值確定距離，然後生成不同長度標記，對包中已有標識進行適當修改移位元，並將標記插入到標記域中。方案體現 2 個原則。

- 1) 考慮所有路徑將形成一個以 V 為根的樹型結構，不同路徑越靠近 V，節點將趨同，所以距離越遠的路由器標記盡可能長；
- 2) 由於路由器無法知道包到達終點前還將經歷多少跳，標記域應包含盡可能多的路由器資訊。

OPi 方案操作如圖 1 所示，假設一條路徑僅 1 個路由器 (l=1)，則插入 16bit 標記，如 l=2，則 2 個路由器各插入 8bit。l=8 時，8 個路由器各插入 2bit，這時等效 2bit StackPi 方案。l≥16 時，各路由器分別插入 1bit，即等效 1bit StackPi 方案。而當 8<l<16 時，一部分路由器插入 1bit 而另一部分插入 2bit，而標記域始終保持 16bit 有效資訊。為插入當前標記，需對先前的標識分割和更新，以騰出足夠空間。

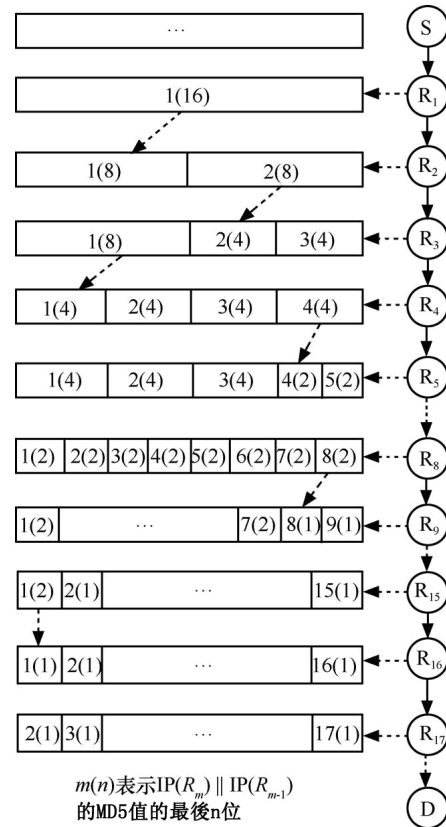


圖 1. OPi 標記方案
Figure 1. OPi marking design

OPi 的偽代碼如圖 2 所示。OPi 中計算跳數 d 的過程，類似 HCF^[7]和 DPPM^[15]。如路由器收到一個包並完成 TTL 減 1 操作後，其 TTL 值是 61，可推出其 TTL 初值是 64， $d=3$ 。對於極少數情況 TTL 初值為 30 和 60^[14]，為統一起見，仍視其初值為 32 和 64，首跳路由器會認為自己分別是第 3 跳和第 5 跳，並進行相應操作。由於數量極少，這種歧義對於 OPi 方案性能的影響很小。

```

for each arrived packet P
Calculate d according to P.TTL; /* 根據TTL值計算距離 */
if d=1
    subPi=markingbits(Curr_Hop,16); /* R1的MD5值的最後16bit */
    insert(subPi,16); /* 插入16bit標記到標記域中 */
elseif d≤16
    calculate n; /* 根據d計算需插入標記的長度 */
    subPi=markingbits(Curr_Hop, n); /* R_d||R_{d-1}的MD5值最後1~8bit */
    reassemble P.ID; /* 定位、分割並移去標記域中的相應值 */
    insert(subPi, n); /* 插入本地標記到標記域中 */
elseif d>16
    subPi=markingbits(Curr_Hop, 1); /* R_d||R_{d-1}的MD5值的最後1bit */
    P.ID<<1; /* 標記域左移1bit */
    insert(subPi, 1); /* 插入本地標記到標記域中 */
    
```

圖 2. OPi 標記操作偽代碼
Figure 2. Pseudo-code of OPi marking operation

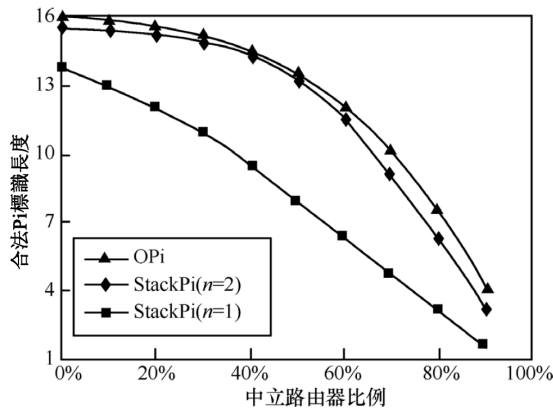


圖 3. Pi 方案的有效資訊位元長
Figure 3. Available information bit length in Pi design

4 OPi 分析和討論

4.1 性能分析

OPi 的主要優點是完全利用了標記域空間。當路徑上存在一定數量中立 (未部署) 路由器時，OPi 的標記域利用率優於 1bit 和 2bit StackPi。本文用部分互聯網資料集^[13]進行了測試，圖 3 給出了不同中立路由器

比例下的有效標識長度，可以看出，OPi 性能遠優於 1bit StackPi，並始終略好於 2bit StackPi。

即使所有路由器部署，短路徑仍使 1bit StackPi 面臨標記域空間無法填滿的問題。小於 16 跳 ($o=0$) 或 19 跳 ($o=3$) 的路徑將分別導致部分標記域空白，如第 2 節所述，攻擊者可憑藉隨機生成的標記域初值，導致遠超過實際的大量惡意標識，削弱防禦效果。這也正是 StackPi 選擇 2bit 而非 1bit 方案的原因。

對於長路徑而言，由於下游路由器趨同，所以 V 分離出的 Pi 標識應儘量包含距離遠的而非近的路由器資訊。而 2bit StackPi 只能保留附近 11 跳 ($o=3$) 的資訊，如一條攻擊路徑和合法路徑在遠於 11 跳的某個路由器彙聚，二者 Pi 將相同，從而無法分辨。

全部部署時，無論路徑長短，OPi 的標記域利用率均達 100%。當然，由於 d 根據 TTL 值推出，攻擊者偽造 TTL 初值會有不利影響，下面將詳細討論。

4.2 安全性分析

由於 OPi 方案中路由器根據 TTL 值推算出 d ，再對標記域進行操作，所以攻擊者會試圖偽造 TTL 和標記域初值來破壞 OPi 機制，分析如下。

如前所述，合法包的 TTL 初值屬於 {32, 64, 128, 255}，設為 $ittl$ 。攻擊者可將初值改成任意值，設為 $sttl$ ，根據 $sttl$ 值不同又分為 2 種情形。

1) 一是 $sttl$ 和 $ittl$ 之差小於 16。如 $sttl=120$ ，則包到達首個路由器 R_1 時，TTL 為 119， R_1 認為 $d=9$ ，自身為 R_9 ， R_1 會保留標記域的後 1bit 再插入 1bit 本地標記。

2) 二是 $sttl$ 和 $ittl$ 之差大於 16。如 $sttl=100$ ，則所有路由器均插入 1 位元標記。

以上情形帶來的後果就是當攻擊路徑長度小於 16 時，攻擊包的標記域初值會有部分未被沿路路由器所覆蓋，和 1bit StackPi 面臨同樣問題，攻擊者利用這種空白產生多個 Pi 來混淆合法 Pi。但本文認為，攻擊者的努力在 OPi 方案中受到較大限制。

1) 攻擊者的偽造對於不小於 16 的攻擊路徑無效。

2) 合法路徑仍產生有效區分度的 OPi 標識。

3) 攻擊者偽造 TTL 初值，V 可實施 HCF^[7]。

4) V 還可實施 OPi+TTL 的過濾策略，學習階段提取 Pi 的同時，也提取對應 TTL 值，建立 OPi2TTL 的對應表用於過濾。

更深入分析 OPi+TTL，一條路徑的攻擊包可能

和另外路徑的合法包有同樣的 TTL 終值和 Pi 值，但概率較小。假設某條長 18 的路徑的合法包 TTL 終值為 110，而另一條長 10 的攻擊路徑在 TTL 初值為 120 時能隨機產生同一 Pi。但攻擊者

無法準確猜測到這一點，它只能隨機產生標記域和 TTL 初值。為避免明顯異常的跳數 (≤ 32)，攻擊包可能包含的 TTL 初值應當在 106~128 隨機分佈，簡單平均估算僅 1/23 的攻擊包具有與合法包相同的 Pi 和 TTL，而 22/23=95.7%的攻擊包將被過濾。

4.3 部署的可擴展性分析

Opi 不存在因中立路由器導致的標記空洞。在一條路徑上，如 R_1 和 R_3 部署了 Opi，即使 R_2 未部署，則當包經過 R_3 後，將帶有 R_1 的 12bit 和 R_3 的 4bit 信息。如 R_1, R_3 未部署， R_2 會插入 8bit， R_4 會再插入 4bit。可見，和 StackPi 一樣，確定性地移位和插入使得 Opi 的部署具有良好的可擴展性。

考慮到網路發展，Opi 需要適用於 IPv6 協定。標記域可改用 20bit 的流標^[8,9]，而 d 可從 Hop Limit 域中推出。儘管位址長度擴展到 4 倍，但只要路徑長度的統計規律不發生大的變化，Opi 將繼續有效，且由於標記域長度增加，區分性能會更好一些。

5 仿真實驗和結果分析

為驗證 Opi 的有效性，使用多個互聯網原始資料集^[13]進行了仿真實驗。限於篇幅，這裏介紹其中 2 個具代表性的資料集，均包含去往同一目標節點的大量原始路徑，分別含 525 491 和 566 625 條路徑（如圖 4 所示）。去掉所有重複路徑後各得到 11 785 和 13 595 條不同路徑。實驗場景共 4 個，前 3 個基於資料集 1，場景 4 基於資料集 2。場景 1 對每一路徑按 50% 概率設定，得到 5 855 條攻擊路徑和 5 930 條合法路徑。場景 2 則按資料集原始順序，選擇前 5 855 條為攻擊路徑，後 5 930 條為合法路徑。根據觀察，原始資料基本上按路由器相鄰順序排列，即場景 1 中攻擊路徑和合法路徑交錯程度較大，而場景 2 中攻擊路徑和合法路徑的交錯度較低。場景 3 對每一路徑按 75% 概率隨機設定，得到 8 904 條攻擊路徑和 2 881 條合法路徑。實驗場景 4 對每一路徑按 50% 概率隨機設定，得到 6 817 條攻擊路徑和 6 778 條合法路徑。

StackPi^[9]的仿真實驗假設 $o=3$ ，即每條路徑的後 3 跳屬於本自治系統，不進行標記。儘管這種假設有一定合理性，但對大小不同的自治系統缺乏統一性，

操作上也確定，所以分別給出後 3 個節點參與 ($o=0$) 和不參與 ($o=3$) 標記的實驗結果。

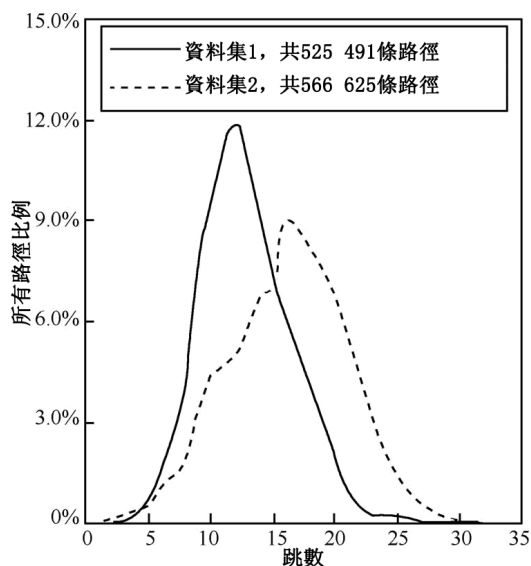


圖 4. 實驗資料集路徑分佈
Figure 4. Path distribution of experimental data set

本文進行了多次仿真實驗，分別測試標識區分度、攻擊包過濾率、合法包接受率等性能。

與 StackPi^[9]相似，仿真實驗分學習和過濾 2 個階段。學習階段中每個合法用戶或攻擊者各發送 1 個合法包或 3 個攻擊包，而過濾階段每個合法用戶或攻擊者各發送 10 個合法包或 30 個攻擊包。這種仿真是符合實際的，因為在氾濫攻擊發生時，的初短時間內 V 無法識別攻擊包，只能隨機接收，收下的包是否為攻擊包由應用層判斷，在提取出 Opi 標識後即學習階段結束後，V 可在網路層進行有效過濾。

對於標記域初值設置而言，攻擊包絕大部分設為隨機而極少量設為空白時，對合法 Pi 的混淆作用的明顯。所以仿真實驗也這樣設置，同時合法包標記域均為空白。考慮 Opi 標記會受 TTL 初值影響，設定每個攻擊包均隨機偽造 TTL 初值，但偽造值不帶來異常跳數。

下面測試標識區分程度。首先定義區分度，設路徑總數為 x ，包總數為 y 。學習階段中 V 收到多個 Pi，去重複後可得合法 Pi 數 x_u ，攻擊 Pi 數 x_a ，混雜 Pi 數 x_m 。每種 Pi 均對應合法包數量 u_i ，攻擊包數量 a_i 。顯然合法 Pi 對應 a_i 為 0，而攻擊 Pi 對應 u_i 為 0，混雜 Pi 對應的 u_i 和 a_i 均 > 0 。各參數滿足下式

$$x_u + x_a + x_m \leq x$$

$$\sum_{i=1}^u u_i + \sum_{j=u+1}^{u+a} a_j + \sum_{k=u+a+1}^{u+a+m} u_k + a_k = y \quad (1)$$

定義合法標記的區分度為

$$\eta = \frac{x_u}{x_u + x_a + x_m} \quad (2)$$

區分度越大，說明合法路徑和攻擊路徑 Pi 混淆程度越小。假設理想情況下所有路徑 Pi 均不重複，則場景 1 的理想值為 $5\ 930/11\ 785=0.503$ 。如區分度越小，越接近於 0，則區分效果越差，越難區分出合法和攻擊路徑。假設所有包標記域初值相同且 Pi 方案未實施，即 $x_u=0, x_a=0, x_m=1$ ，則區分度為 0。

表 1 給出了場景 1 中不同方案的區分度。其中真實 TTL 初值的 OPi 表現良好，但因攻擊者可偽造 TTL 初值，所以研判此時的 OPi 性能更有意義，後面的仿真和描述中 OPi 均指攻擊者偽造 TTL 初值。可看出，即使如此，OPi 效果仍良好。注意 $o=3$ 時區分度有改善，因為 Pi 包含了更多跳的資訊。

表 1.各方案在實驗場景 1 中的合法標記區分度
Table 1. Valid marking distinguishing level of all the designs in experimental Scene 1

實驗場景 1	$o=0$	$o=3$
OPi(真實 TTL)	0.3069	0.4014
OPi(偽造 TTL)	0.1961	0.2421
StackPi($n=1$)	0.0840	0.1055
StackPi($n=2$)	0.0825	0.1478

圖 5 給出了場景 1 中學習階段的標識統計結果，可看出，OPi 獲得的標識數量較多。由於攻擊者偽造標記域和 TTL 初值，OPi 和 StackPi($n=1$)方案的惡意標識數量較接近，而對合法路徑而言，前者產生的標識數量遠多於後者，當然過濾效果和標識數量並非呈正相關。接下來看實際的過濾效果。

過濾階段中將合法包和攻擊包的接受率差[8,9]作為評判指標。設發送合法包和攻擊包數為 p_u 和 p_a ，V 接受的合法包和攻擊包數為 v_u 和 v_a ，根據文獻[8,9]，過濾閾值和接受率差定義如式(3)和式(4)

$$t_i < \frac{a_i}{a_i + u_i} \quad (3)$$

$$\Delta = \frac{v_u}{p_u} - \frac{v_a}{p_a} \quad (4)$$

式(3)表示當學習階段中具有 Pi 標識 i 的攻擊包

a_i 和含同一標識的所有包之比大於預定的閾值 t_i 時，過濾階段中 V 過濾含標識 i 的所有包。

圖 6(a)給出了 $o=3$ 時 3 種方案在場景 2 中的實驗結果，StackPi($n=2$)表現良好，這也符合文獻[9]的描述。但如圖 6(b)所示，由於後 3 個節點參與標記，OPi 和 StackPi($n=1$)性能反而優於 StackPi ($n=2$)。

下面看攻擊路徑和合法路徑交錯分佈的情形，場景 1 的結果如圖 7 所示。可看出，OPi 性能始終較好，由於路徑彼此交錯，StackPi($n=1$)和 ($n=2$)方案區分效果不佳，導致較低閾值下過濾性能極差。

實驗場景 3 的過濾效果如圖 8 所示，可看出，OPi 良好， $o=0$ 時 StackPi($n=2$)較差。

場景 4 的結果見圖 9，情況大體相同。

綜上所述，即使 OPi 會受攻擊者偽造 TTL 初值的干擾，其總體防禦效果仍優於 StackPi 方案。

再看 Pi+TTL 的過濾效果。圖 10 給出了場景 2 和場景 1 的結果。此時 OPi 和 StackPi ($n=1$)效果較理想，而 StackPi ($n=2$)性能略差一些。

圖 11 給出了不同中立路由器比例下 OPi 應用 4 種閾值的過濾效果，即使中立比例高達 90%，如採用較高過濾閾值，OPi+TTL 方案仍表現良好。

6 結論

為防禦互聯網 DDoS 攻擊，本文研究了路徑標識技術，與以前方案相比，OPi 方案有更高的標記域空間利用率和更大的路徑區分度。基於互聯網真實拓撲的大量仿真實驗表明，當攻擊和合法路徑交錯程度較高時，OPi 的性能明顯優於已有方案。此外，還提出了 OPi+TTL 的過濾方案，進一步提高性能。

未來的工作應考慮在包標記方案中，有效融合路徑追溯和路徑標識，以達到更好的防禦效果。

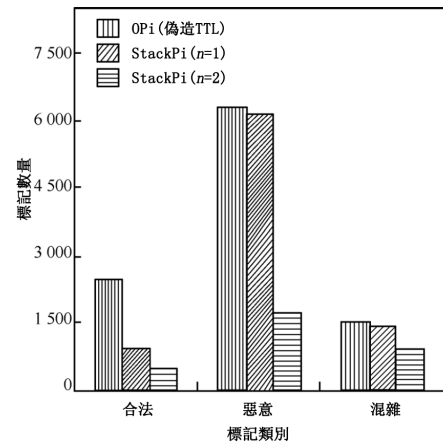


圖 5. 實驗場景 1, $o=3$, 學習階段路徑標識統計
Figure 5. Experimental Scene 1, $o=3$, path marking statistics in learning phase

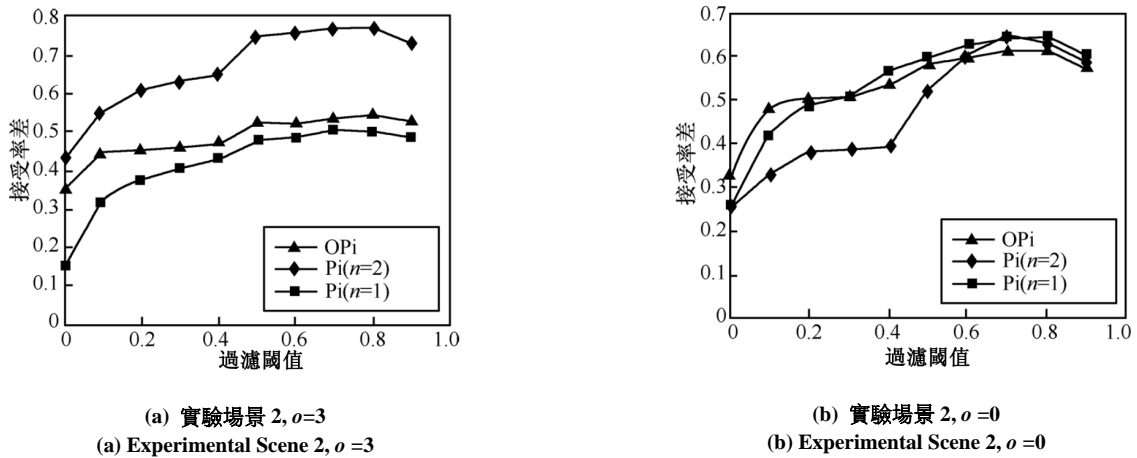


圖 6. 實驗場景 2 的合法包和攻擊包接受率差
 Figure 6. Receive rate difference between valid packet and attack packet in experimental Scene 2

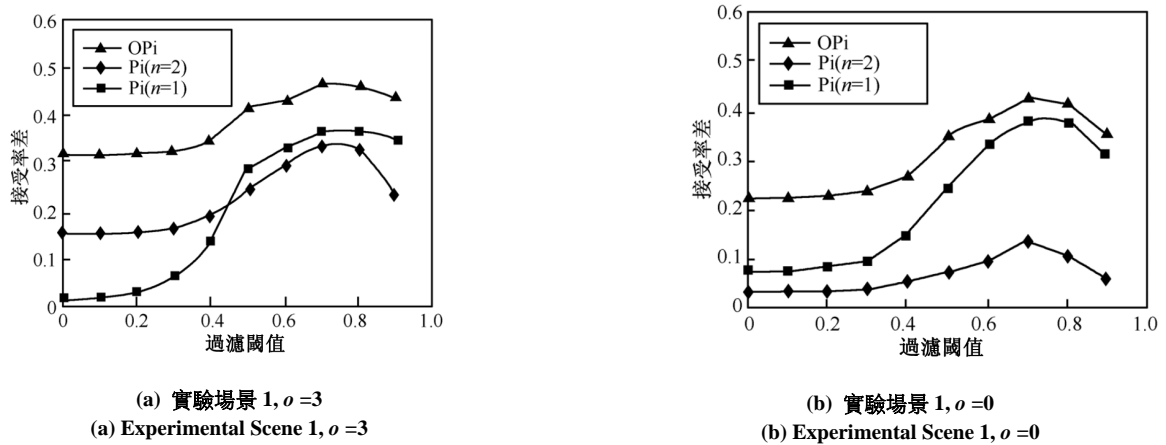


圖 7. 實驗場景 1 的合法包和攻擊包接受率差
 Figure 7. Receive rate difference between valid packet and attack packet in experimental Scene 1

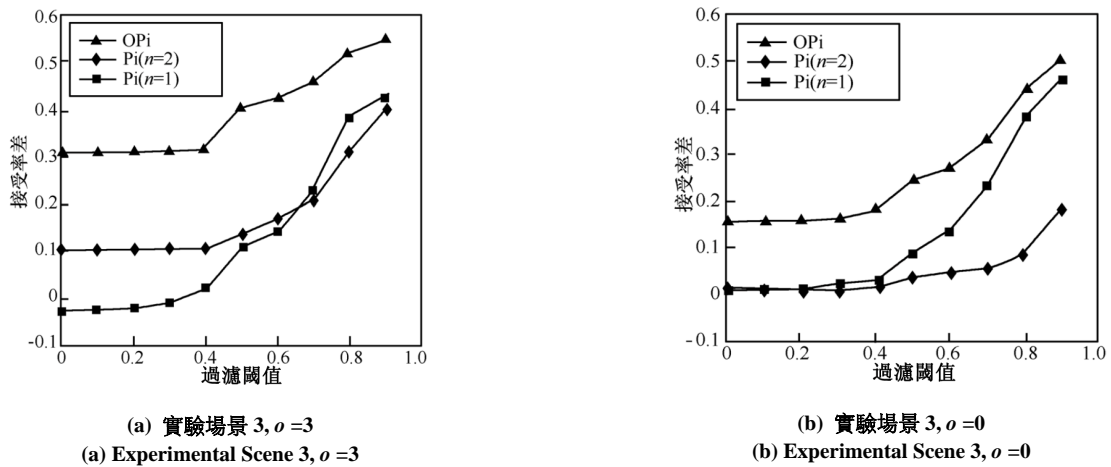
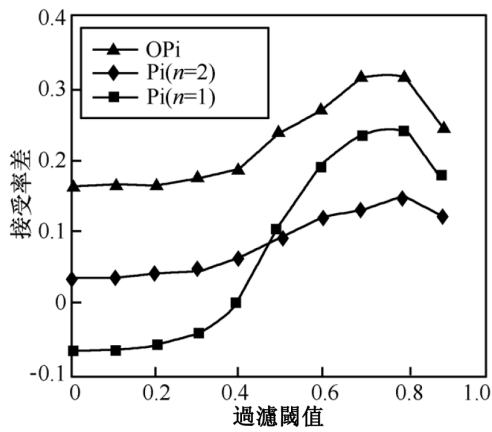
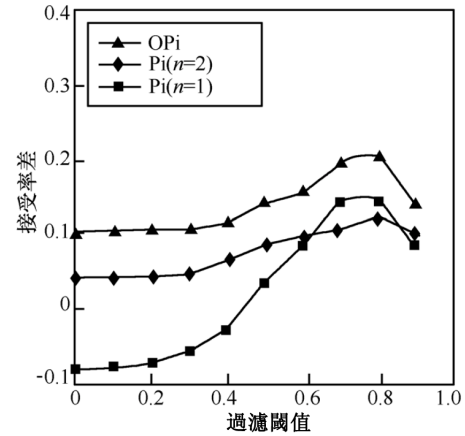


圖 8. 實驗場景 3 的合法包和攻擊包接受率差
 Figure 8. Receive rate difference between valid packet and attack packet in experimental Scene 3



(a) 實驗場景 4, $o=3$

(a) Experimental Scene 4, $o=3$

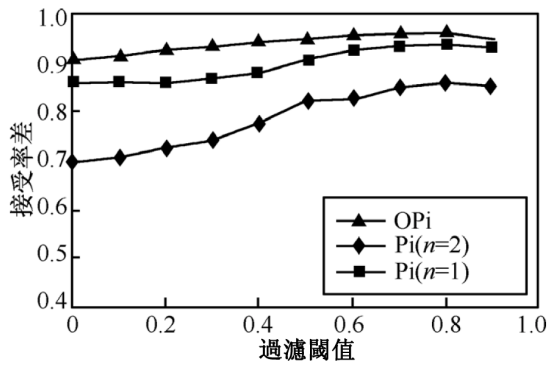


(b) 實驗場景 4, $o=0$

(b) Experimental Scene 4, $o=0$

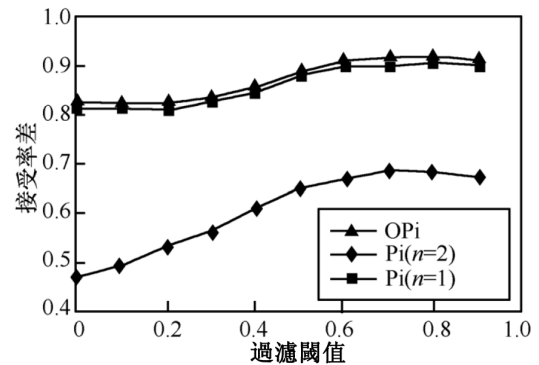
圖 9. 實驗場景 4 的合法包和攻擊包接受率差

Figure 9. Receive rate difference between valid packet and attack packet in experimental Scene 4



(a) 實驗場景 2, Pi+TTL, $o=0$

(a) Experimental Scene 2, Pi+TTL, $o=0$



(b) 實驗場景 1, Pi+TTL, $o=0$

(b) Experimental Scene 1, Pi+TTL, $o=0$

圖 10. 實驗場景 2 和 1 的 Pi+TTL 過濾結果

Figure 10. Pi+TTL filtered results for experimental Scenes 2 & 1

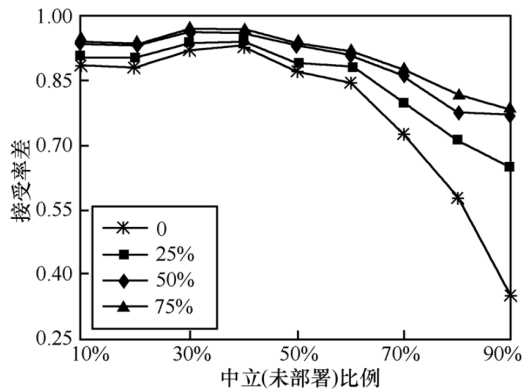


圖 11. 4 種過濾閾值和不同中立比例下 OPi 過濾效果

Figure 11. OPi filtered effects with 4 filtered threshold values and in different neutral ratios

REFERENCES

- [1] DITTRICH D. Distributed denial of service (DDoS) attacks/tools [EB/OL]. <http://staff.washington.edu/dittrich/misc/ddos/>, 2007.
- [2] DOULIGERIS C, MITROKOTSA A. DDoS attacks and defense mechanism: classification and state-of-the-art. *Computer Networks*, 2004, 44(3): 643-666.
- [3] FERGUSON P, SENIE D. Network Ingress Filtering: Defeating De-nial of Service Attacks Which Employ IP Source Address Spoofing. RFC 2827, 2000.
- [4] SUN H J, FANG B X, ZHANG H L. DDoS attacks detection based on link character. *Journal on Communications*, 2007, 28(2):88-93.
- [5] GAO Z, ANSARI N. Tracing cyber attacks from the practical perspective. *IEEE Communication Magazine*, 2005, 43(3):123-131.
- [6] KIM Y, LAU W, CHUAH M, et al. Packetscore: a statis-

- tics-based packet filtering scheme against distributed denial-of-service attacks. *IEEE Transactions on Dependable and Secure Computing*, 2006, 3(2): 141-155.
- [7] JIN C, WANG H, SHIN K G. Hop-count filtering: an effective defense against spoofed DDoS traffic. *IEEE/ACM Transactions on Networking*, 2007, 15(1):40-53.
- [8] YAAR A, PERRIG A, SONG D. Pi: a path identification mechanism to defend against DDoS attacks. *Proc of IEEE Symposium on Security and Privacy*. Oakland, CA, USA, 2003. 93-107.
- [9] YAAR A, PERRIG A, SONG D. StackPi: new packet marking and filtering mechanisms for DDoS and IP spoofing defense. *IEEE Journal on Selected Areas in Communications*, 2006, 24(10): 1853-1863.
- [10] [KIM Y, JO J, MERAT F, et al. Defeating distributed denial-of-service attack with deterministic bit marking. *Proc of IEEE Globecom*, San Francisco, CA, USA, 2003. 1363-1367.
- [11] LEE F, SHIEH S. Defending against spoofed DDoS attacks with path fingerprint. *Computers & Security*, 2005, 24(7):571-586.
- [12] LEE G, LIM H, HONG M, et al. A dynamic path identification mechanism to defend against DDoS attacks. *Proc of ICOIN*. Jeju Island, Korea, 2005. 806-813.
- [13] CAIDA Skitter [EB/OL]. <http://www.caida.org>, 2007.
- [14] The Swiss Education and Research Network. Default TTL values in TCP/IP [EB/OL]. http://secfr.nerim.net/docs/fingerprint/en/ttl_de-fault.html, 2000.
- [15] LIU J, LEE Z, CHUNG Y. Dynamic probabilistic packet marking for efficient IP traceback. *Computer Networks*, 2007, 51(3): 866-882.